

## Erratum

Pathologie 2023 · 44 (Suppl 2):S71–S72  
<https://doi.org/10.1007/s00292-023-01226-0>  
Online publiziert: 1. September 2023  
© The Author(s) 2023



# Erratum zu: Testung auf Mismatch-Reparatur-Defizienz und Mikrosatelliteninstabilität

Josef Rüschoff<sup>1</sup> · Hans-Ulrich Schildhaus<sup>1</sup> · Jan Hendrik Rüschoff<sup>2</sup> · Korinna Jöhrens<sup>3</sup> · Tina Bocker-Edmonston<sup>4</sup> · Wolfgang Dietmaier<sup>5</sup> · Hendrik Bläker<sup>6</sup> · Gustavo Baretton<sup>3</sup> · David Horst<sup>7</sup> · Manfred Dietel<sup>7</sup> · Arndt Hartmann<sup>8</sup> · Frederick Klauschen<sup>9</sup> · Sabine Merkelbach-Bruse<sup>10</sup> · Albrecht Stenzinger<sup>11</sup> · Sandra Schöniger<sup>1</sup> · Markus Tiemann<sup>12</sup> · Wilko Weichert<sup>13</sup> · Reinhard Büttner<sup>10</sup>

<sup>1</sup>Discovery Life Sciences Biomarker GmbH und Pathologie Nordhessen, Kassel, Deutschland; <sup>2</sup>Institut für Pathologie und Molekularpathologie, Universitätsspital Zürich, Zürich, Schweiz; <sup>3</sup>Institut für Pathologie, Universitätsklinikum Carl Gustav Carus Dresden, Dresden, Deutschland; <sup>4</sup>Department of Pathology, Cooper University Health Care, Camden, USA; <sup>5</sup>Institut für Pathologie/Zentrum für molekulare pathologische Diagnostik, Universität Regensburg, Regensburg, Deutschland; <sup>6</sup>Institut für Pathologie, Universitätsklinikum Leipzig, Leipzig, Deutschland; <sup>7</sup>Institut für Pathologie, Charité – Universitätsmedizin Berlin, Campus Mitte, Berlin, Deutschland; <sup>8</sup>Pathologisches Institut, Universität Erlangen-Nürnberg, Erlangen, Deutschland; <sup>9</sup>Pathologisches Institut, Ludwig-Maximilians-Universität München, München, Deutschland; <sup>10</sup>Institut für Pathologie, Universitätsklinikum Köln, Köln, Deutschland; <sup>11</sup>Pathologisches Institut, Universitätsklinikum Heidelberg, Heidelberg, Deutschland; <sup>12</sup>Institut für Hämatopathologie Hamburg, Hamburg, Deutschland; <sup>13</sup>Institut für Pathologie, Technische Universität München, München, Deutschland

**Erratum zu:****Pathologie 2023**

<https://doi.org/10.1007/s00292-023-01209-1>

In **Abb. 1** in diesem Artikel wurde die y-Achse bei der Anpassung der Abbildung zum Layout falsch interpretiert. Die Abbildung und Legende hätte wie folgt aussehen sollen.

Der Originalbeitrag wurde korrigiert.

**Korrespondenzadresse****Prof. Dr. Josef Rüschoff**

Discovery Life Sciences Biomarker GmbH und Pathologie Nordhessen  
Germaniastr. 7, 34119 Kassel, Deutschland  
josef.rueschoff@dls.com

**Open Access.** Dieser Artikel wird unter der Creative Commons Namensnennung 4.0 International Lizenz veröffentlicht, welche die Nutzung, Vervielfältigung, Bearbeitung, Verbreitung und Wiedergabe in jeglichem Medium und Format erlaubt, sofern Sie den/die ursprünglichen Autor(en) und die Quelle ordnungsgemäß

Die Online-Version des Originalartikels ist unter <https://doi.org/10.1007/s00292-023-01209-1> zu finden.

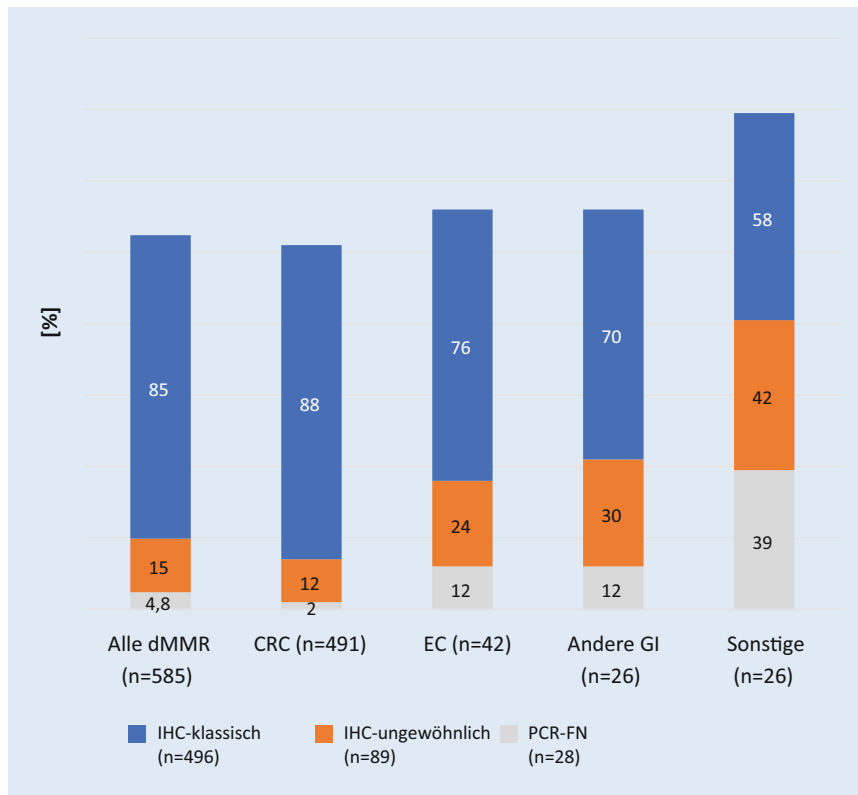
nennen, einen Link zur Creative Commons Lizenz beifügen und angeben, ob Änderungen vorgenommen wurden.

Die in diesem Artikel enthaltenen Bilder und sonstiges Drittmaterial unterliegen ebenfalls der genannten Creative Commons Lizenz, sofern sich aus der Abbildungslegende nichts anderes ergibt. Sofern das betreffende Material nicht unter der genannten Creative Commons Lizenz steht und die betreffende Handlung nicht nach gesetzlichen Vorschriften erlaubt ist, ist für die oben aufgeführten Weiterverwendungen des Materials die Einwilligung des jeweiligen Rechteinhabers einzuholen.

Weitere Details zur Lizenz entnehmen Sie bitte der Lizenzinformation auf <http://creativecommons.org/licenses/by/4.0/deed.de>.

**Literatur**

10. Jaffrelot M, Farés N, Brunac AC et al (2022) An unusual phenotype occurs in 15% of mismatch repair-deficient tumors and is associated with non-colorectal cancers and genetic syndromes. *Mod Pathol* 35:427–437



**Abb. 1** ▲ Vergleich zwischen Mismatch-Reparatur-Defizienz(dMMR)- und Mikrosatelliteninstabilität(MSI)-Status in 3800 analysierten Karzinomen (nach Jaffrelot et al. [1], weitere Studiendaten: s. Tab. S1 online). *IHC-klassisch*: Konkordanter Befund zwischen dMMR (Komplettausfall von MLH1/PMS2 oder MSH2/MSH6) und MSI-PCR (Nachweis MSI-H). *IHC-ungewöhnlich*: Davon abweichende Befunde, z. B. isolierter MMR-Proteinausfall oder widersprüchlicher Befund zwischen MMR- und MSI-Analyse. *PCR-FN (falsch negativ)*: Trotz klassischem dMMR- stabiler PCR-Befund (MSS/MSI-L). [Werte in Säulen: % der jeweiligen Tumorgruppe] *CRC* kolorektales Karzinom; *EC* Endometriumkarzinom; *Andere GI* nichtkolorektale Gastrointestinaltumoren (9 × Magen, 5 × Dünndarm, 4 × Duodenum, 3 × Gallenwege, 2 × Pankreas, 1 × heptazellulär); *Sonstige*: 12 × sebazeische Hauttumoren, 6 × Ovarial- und 4 × Urothelkarzinom sowie je 1 × Glioblastom, Sarkom, Melanom und neuroendokriner Tumor